

# 核沸騰における気ほう発生周期と伝熱面離脱時の気ほう径の関係について

松 村 博 久

(受理 昭和41年5月31日)

## ON THE RELATIONS BETWEEN THE BUBBLE RISING PERIODS AND THE DIAMETERS OF BUBBLE DEPARTING FROM HEATED SURFACE UNDER NUCLEATE BOILING

Hirohisa MATSUMURA

To analyze the mechanism of boiling heat transfer various behaviors of bubbles must be studied in detail. This paper reports on the relations between the bubble rising periods and the diameters of bubble departing from heated surface, under nucleate boiling.

The author translates the mechanism of boiling heat transfer into a simple model and analyzes it theoretically. As the results the author has got the formulae expressing the relations between the bubble rising periods and the bubble diameters. These formulae show qualitatively a good agreement with experimental data reported by researchers hitherto.

### 1. ま え が き

沸騰の伝熱機構を理論的に解析するためには、気ほうの挙動を十分に知る必要がある。一言に気ほうの挙動といつても気ほう周囲の条件に応じて挙動は複雑であり、かつ多くの影響因子を包含している。ここでは気ほうの挙動の主要部をしめる気ほう発生周期と伝熱面離脱時の気ほう径との関係について述べる。

大気圧下の自然対流核沸騰における気ほう発生周期と伝熱面離脱時気ほう径の関係については、従来からつぎの Jakob<sup>1)</sup> および西川<sup>2)</sup>の実験式が用いられている。Jakobの実験式は

$$\frac{D_d}{\tau} = f D_d = 280, \text{ m/h} \quad \dots\dots(1)$$

西川の実験式は

$$f D_d = 400, \text{ m/h} \quad \dots\dots(2)$$

ここに、

$D_d$ : 伝熱面離脱時の気ほう径, m

$f$ : 気ほう発生ひん度, 1/h

$\tau$ : 気ほう発生周期, h

である。また、McFadden-Grassmann<sup>3)</sup> は次元解析より(3)式を出し、Zuber<sup>4)</sup> は理論的解析により(4)式を導いている。

$$f D_d^{1/2} = 0.56 g^{1/2} = 6300, \text{ m}^{1/2}/\text{h} \quad \dots\dots(3)$$

$$f D_d = 0.59 \left[ \frac{\sigma g^2 (\rho_l - \rho_v)}{\rho_l^2} \right]^{1/4} = 330, \text{ m/h} \quad \dots\dots(4)$$

ここに、

$g$ : 重力加速度, m/h<sup>2</sup>

$\rho_l$ : 液体の比重量, kg/m<sup>3</sup>

$\rho_v$ : 蒸気の比重量, kg/m<sup>3</sup>

$\sigma$ : 表面張力, kg/m

である。

以上の四式は自然対流飽和沸騰についてだけ近似的に成立するものであり、強制対流およびサブクーリングのある場合については検討が加えられていない。ただし、西川-楠田<sup>5)</sup>はサブクーリングが0~7°Cくらいまではほぼ(2)式で表わされることを報告している。本報告は、上述の関係式とは別の方法で気ほう発生周期と伝熱面離脱時の気ほう径の関係について理論的解析を行ない、強制対流を伴う表面沸騰の場合にも適用できる関係式を導いたものである。

### 2. 理論的解析

#### 2.1. 自然対流下での核沸騰

沸騰を行なっている伝熱面上には限られた気ほう発生点が存在し、それぞれの気ほう発生点からは周期的に気ほうを発生している。このことは従来からの報告

でも述べられており、また筆者ら<sup>6)</sup>が高速写真による観察結果としても報告した。それらにもとづいて任意の1個の気ほう発生点を中心に取扱うことにする。

解析を行なうにあたり、まずつぎの仮定をおくとともに図1に示すような熱移動の概念をもつことにする。

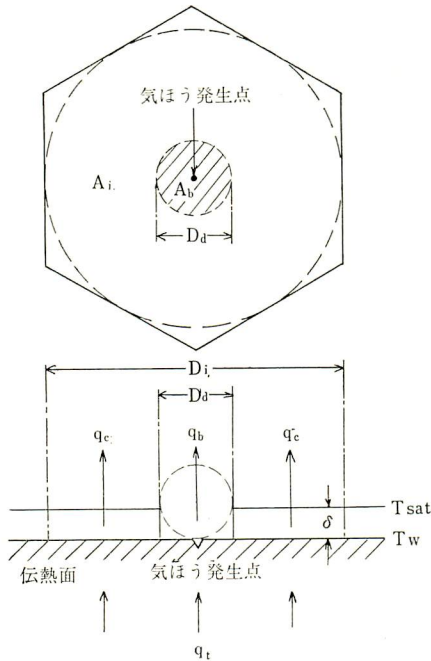


図1 熱移動の概念

- 1) 過熱層内の伝熱は熱伝導のみである。
- 2) 過熱層内の熱の流れは伝熱面にたいして垂直方向のみである。
- 3) 気ほう発生部分の大きさは、離脱時気ほうの伝熱面への垂直投影面積と同じである。
- 4) 気ほう発生部分以外の過熱層は、気ほう発生によりかく乱されずに定常状態である。
- 5) 伝熱面表面温度は一定である。

なお、図中の記号は

$A_b$  : 伝熱面離脱時気ほうの伝熱面への垂直投影面積,  $m^2$

$A_i$  : 1個の気ほう発生点の影響面積,  $m^2$

$D_b$  : 伝熱面離脱時の気ほう径,  $m$

$D_i$  : 1個の気ほう発生点の正六角形影響面積に内接する円の直径,  $m$

$q_b$  : 気ほう発生部分を通過する熱負荷,  $kcal/m^2h$

$q_c$  : 定常過熱層を通過する熱負荷,  $kcal/m^2h$

$q_t$  : 全熱負荷,  $kcal/m^2h$

$T_{sat}$  : 液体の飽和温度,  $^{\circ}C$

$T_w$  : 伝熱面表面温度,  $^{\circ}C$

$\delta$  : 定常過熱層厚さ,  $m$

である。

伝熱面上の気ほう発生点が等間隔に分布しているとすれば、1個の気ほう発生点の影響面積  $A_i$  は

$$A_i = \frac{1}{N} \quad \dots\dots(5)$$

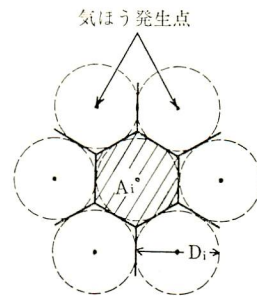


図2 気ほう発生点の影響面積

ただし、 $N$  は単位面積当りの気ほう発生点数である。また、図2のように直径  $D_i$  の円に外接する正六角形の影響面積が連続的にならんでいると考えれば、

$$A_i = \frac{\sqrt{3}}{2} D_i^2 \quad \dots\dots(6)$$

気ほう発生部分の面積  $A_b$  は、

$$A_b = \frac{\pi}{4} D_b^2 \quad \dots\dots(7)$$

したがって、熱移動の概念よりつぎの関係式が得られる。

$$q_t A_i = q_c (A_i - A_b) + q_b A_b \quad \dots\dots(8)$$

または、

$$\frac{q_t - q_c}{q_b - q_c} = \frac{\pi}{4} D_b^2 N \quad \dots\dots(9)$$

気ほうの発生によりかく乱を与えられない定常過熱層の厚さ  $\delta$  は、

$$\delta = \frac{\lambda(T_w - T_{sat})}{q_c} \quad \dots\dots(10)$$

ただし、 $\lambda$  は液体の熱伝導率である。

定常過熱層を通過する熱負荷は非沸騰時の対流伝熱と同じと考えられるので、自然対流の乱流においては例えば Saunders の式

$$Nu = 0.14(G_r \cdot Pr)^{1/3} \quad \dots\dots(11)$$

より書きかえて次式を得る。

$$q_c = 0.14 \left( \frac{g\beta\lambda^3}{\nu^2} \cdot P_r \right)^{1/3} (\Delta T_{\text{sat}} + \Delta T_{\text{sub}})^{4/3} \quad \dots\dots(12)$$

ここに、

- $g$  : 重力加速度,  $\text{m/h}^2$
- $G_r$  : グラスホフ数, 無次元
- $N_u$  : ヌセルト数, 無次元
- $P_r$  : プラントル数, 無次元
- $\Delta T_{\text{sat}}$  : 過熱度,  $^{\circ}\text{C}$
- $\Delta T_{\text{sub}}$  : サブクーリング,  $^{\circ}\text{C}$
- $\beta$  : 液体の膨張係数,  $1/^{\circ}\text{C}$
- $\nu$  : 液体の動粘性係数,  $\text{m}^2/\text{h}$

である。

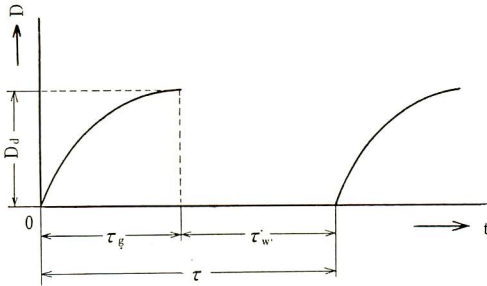


図3 気ほう発生周期

つぎに気ほう発生部分について考える。それぞれの気ほう発生点における気ほう発生周期は、図3に示すように気ほうが発生してから離脱するまでの期間と気ほうが離脱してからつぎの気ほうが発生するまでの期間の和であるので、

$$\tau = \tau_g + \tau_w \quad \dots\dots(13)$$

ここに、

- $\tau$  : 気ほう発生周期,  $\text{h}$
- $\tau_g$  : 気ほう発生から離脱までの期間,  $\text{h}$
- $\tau_w$  : 気ほう離脱からつぎの気ほう発生までの期間,  $\text{h}$

であり、図中の記号は

- $D$  : 気ほう径,  $\text{m}$
- $t$  : 時間,  $\text{h}$

である。

気ほうが伝熱面より離脱する際には気ほう発生部分の過熱層は消滅し、そのあとはふたたび過熱層が発達していくので、過熱層の厚さが回復するとつぎの気ほうが発生すると考える。このことより気ほう発生部分は気ほうのない時には半無限物体の非定常熱伝導として取扱い、この場合の式は

$$\frac{\partial \theta}{\partial t} = a \frac{\partial^2 \theta}{\partial x^2} \quad \dots\dots(14)$$

境界条件は、

$$t=0 \begin{cases} x=0, & \theta=\theta_w \\ x>0, & \theta=0 \end{cases}$$

$$t>0 \begin{cases} x=0, & \theta=\theta_w \\ x=\infty, & \theta=0 \end{cases}$$

ここに、 $a$  : 温度伝導率,  $\text{m}^2/\text{h}$

$x$  : 伝熱面からの垂直距離,  $\text{m}$

$\theta$  : 伝熱面から遠く離れたところの液体とある位置の液体との温度差,  $^{\circ}\text{C}$

$\theta_w$  : 伝熱面とそこから遠く離れた位置の液体との温度差,  $^{\circ}\text{C}$

である。

(14) 式の解は、

$$\theta = \theta_w \operatorname{erfc} \left( \frac{x}{2\sqrt{at}} \right) \quad \dots\dots(15)$$

$$\frac{\partial \theta}{\partial x} = -\frac{\theta_w}{\sqrt{\pi at}} \exp \left( -\frac{x^2}{4at} \right) \quad \dots\dots(16)$$

$x=0$  のとき、

$$\left( \frac{\partial \theta}{\partial x} \right)_{x=0} = -\frac{\theta_w}{\sqrt{\pi at}} \quad \dots\dots(17)$$

また過熱層が最大厚さに成長したら過熱層内の温度分布は直線的であると近似できるので、

$$\left( \frac{\partial \theta}{\partial x} \right)_{x=0} = -\frac{\Delta T_{\text{sat}}}{\delta^*} \quad \dots\dots(18)$$

ただし、 $\delta^*$  は相当過熱層厚さであるから

$$\delta^* = \frac{\lambda \Delta T_{\text{sat}}}{q_b} \quad \dots\dots(19)$$

しかるに、 $\theta_w = \Delta T_{\text{sat}} + \Delta T_{\text{sub}}$  であることと (17)、

(18) および (19) 式より

$$t = \frac{1}{\pi a} \left[ \frac{\lambda(\Delta T_{\text{sat}} + \Delta T_{\text{sub}})}{q_b} \right]^2 \quad \dots\dots(20)$$

ここで、 $t \approx \tau_w$  とし、(9) および (20) 式より

$$\tau_w = \frac{1}{\pi a} \left[ \frac{\lambda(\Delta T_{\text{sat}} + \Delta T_{\text{sub}})}{(q_i - q_o) \cdot 4 / (\pi D d^2 N) + q_c} \right]^2 \quad \dots\dots(21)$$

一方、気ほうの成長における気ほうの大きさと時間の関係について、Zuber<sup>7)</sup> は理論的につぎの式を導いている。

$$D = \frac{4b}{\pi} \frac{\Delta T_{\text{sat}} C_p r_l}{r r_v} \sqrt{\pi at} \left( 1 - \frac{1}{2} \sqrt{\frac{t}{\tau_{\text{max}}}} \right) \quad \dots\dots(22)$$

この式において気ほうが最大径になつた時は、

$$D_{\text{max}} = \frac{2b}{\pi} \frac{\Delta T_{\text{sat}} C_p r_l}{r r_v} \sqrt{\pi a \tau_{\text{max}}} \quad \dots\dots(23)$$

ここに、

- $b$  : 定数
- $C_p$  : 液体の比熱, kcal/kg °C
- $r$  : 蒸発の潜熱, kcal/kg
- $D_{max}$  : 気ほう最大径, m
- $r_l$  : 液体の比重, kg/m<sup>3</sup>
- $r_v$  : 蒸気の比重, kg/m<sup>3</sup>
- $\tau_{max}$  : 気ほうが発生してから最大径になるまでの期間, h

である。

静圧変化のない場合およびサブクーリングのある場合において、気ほうが伝熱面を離脱する時の気ほう径はほぼ最大径に等しいので、

$$D_{max} \approx D_d$$

$$\tau_{max} \approx \tau_g$$

したがって、(23) 式は

$$D_d = \frac{2b}{\pi} \frac{\Delta T_{sat} C_p r_l}{r r_v} \sqrt{\pi a \tau_g} \dots\dots(24)$$

この式を書きかえて、

$$\tau_g = \frac{1}{\pi a} \left( \frac{\pi}{2b} \frac{r r_v}{\Delta T_{sat} C_p r_l} \right)^2 D_d^2 \dots\dots(25)$$

ゆえに、求める気ほう発生周期と伝熱面離脱時の気ほう径との関係は、(13)、(21) および (25) 式からつぎの式ようになる。

$$\tau = \frac{1}{\pi a} \left\{ \left( \frac{\pi}{2b} \frac{r r_v}{\Delta T_{sat} C_p r_l} \right)^2 D_d^2 + \left[ \frac{\lambda(\Delta T_{sat} + \Delta T_{sub})}{(q_t - q_c) \cdot 4 / (\pi D_d^2 N) + q_c'} \right]^2 \right\} \dots\dots(26)$$

**2.2. 強制対流を伴う表面沸騰**

強制対流を伴う場合の伝熱面上の過熱層の厚さは極めて薄いので、その過熱層の流動は無視できる。また表面沸騰においては気ほう発生数が多くないので、気ほうが伝熱面に付着している間の流れに対する乱れを与える割合は小さいと考える。そうすると前節の自然対流核沸騰と同じように取扱うことができる。自然対流と異つているところの強制対流時の定常過熱層を通過する熱負荷は、強制対流の乱流の場合たとば McAdams の式

$$Nu = 0.023 R_e^{0.8} P_r^{0.4} \dots\dots(27)$$

よりつぎの式となる。

$$q_c' = 0.023 \left( \frac{\lambda}{D_e} \right) \left( \frac{u_m D_e}{\nu} \right)^{0.8} P_r^{0.4} (\Delta T_{sat} + \Delta T_{sub}) \dots\dots(28)$$

ここに、

$D_e$  : 流路の相当直径, m

$q_c'$  : 強制対流時の定常過熱層を通過する熱負荷 kcal/m<sup>2</sup>h

$R_e$  : レイノルズ数, 無次元

$u_m$  : 液体の平均流速, m/h

ある。

ゆえに、強制対流表面沸騰下での気ほう発生周期と伝熱面離脱時の気ほう径との関係は、(26) 式において  $q_c$  の代りに  $q_c'$  を用いればよいことになる。すなわち、

$$\tau = \frac{1}{\pi a} \left\{ \left( \frac{\pi}{2b} \frac{r r_v}{\Delta T_{sat} C_p r_l} \right)^2 D_d^2 + \left[ \frac{\lambda(\Delta T_{sat} + \Delta T_{sub})}{(q_t - q_c') \cdot 4 / (\pi D_d^2 N) + q_c'} \right]^2 \right\} \dots\dots(29)$$

**3. 実験値との比較および考察**

**3.1. 自然対流核沸騰**

自然対流核沸騰での従来から報告されている気ほう発生周期と離脱時気ほう径の大気圧における関係を図4に示している。図にみられるように、(1)、(2)、(3) および (4) 式の各式は Jakob<sup>1)</sup> および西川<sup>2)</sup> の実験値のいずれにたいしても近似的関係を示しているにすぎないことがわかる。

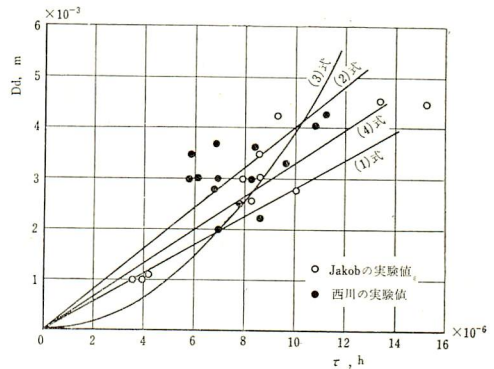


図4 従来の関係式と実験結果の比較

つぎに大気圧のもとで熱負荷  $6.0 \times 10^3 \sim 3.1 \times 10^4$  kcal/m<sup>2</sup>h の範囲で実験を行なつた Yamagata ら<sup>8)</sup> の自然対流飽和核沸騰の実験値とここで理論的解析をした結果の比較を試みる。代表的に表1にあげるような熱負荷がほぼ  $1.0 \times 10^4$ ,  $2.0 \times 10^4$  および  $3.0 \times 10^4$  kcal/m<sup>2</sup>h の実験値を取りあげることにする。

表1の実験値を用いて、(26) 式で計算した結果と(2)式の比較を図5に示している。ただし、(26) 式中の定数  $b$  の値は自然対流飽和核沸騰の場合に Forster-Zuber<sup>9)</sup> の理論式から  $\pi/2$ , または Plesset-Zwick<sup>10)</sup> の

表1 Yamagataら<sup>9)</sup>の大気圧における自然対流核沸騰の実験値

	$q_t$	$\Delta T_{sat}$	$N$	$A_i$
	kcal/m <sup>2</sup> h	°C	1/m <sup>2</sup>	m <sup>2</sup>
①	$1.08 \times 10^4$	6.0	1,150	$8.7 \times 10^{-4}$
②	$1.97 \times 10^4$	7.8	4,179	$2.4 \times 10^{-4}$
③	$3.06 \times 10^4$	8.5	12,700	$7.8 \times 10^{-5}$

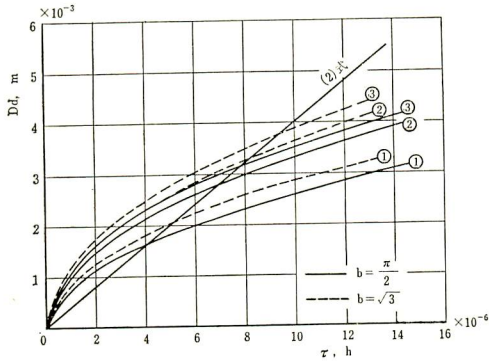


図5 表1の実験値を(26)式で計算した結果と(2)式の比較

理論式からは $\sqrt{3}$ である。(26)式は(1),(2),(3)および(4)式と定性的な傾向が異なっているが、Jakobおよび西川の実験値にたいしては従来の関係式と同様の一致がみられる。ここで熱負荷の小さい方が熱負荷の大きい場合よりも伝熱面離脱時の気ほう径は小さいと考えられるので、解析より導いた(26)式と実験値とは定性的に良く一致していることが確かめられる。しかしながら、気ほう発生周期のとくに小さい範囲では伝熱面離脱時の気ほう径が実験値よりも計算値がいくぶん大きくでている。

3.2. 強制対流表面沸騰

強制対流を伴う表面沸騰については、筆者ら<sup>11)</sup>が高速写真の解析から得た実験値と比較することにする。その実験値の一覧を表2に示している。ただし、

表中の過熱度  $\Delta T_{sat}$  は実験において伝熱面表面温度を測定していないので、筆者ら<sup>12)</sup>の強制対流表面沸騰の熱伝達の整理式であるつぎの式にもとづいて算出している。

$$q_t = 4.50 e^{b/20} \Delta T_{sat}^{3.6} + 0.023 \left( \frac{\lambda}{D_e} \right) R_e^{0.8} P_r^{0.4} (\Delta T_{sat} + \Delta T_{sub}) \dots (30)$$

ここに、

$p$ : 圧力, ata

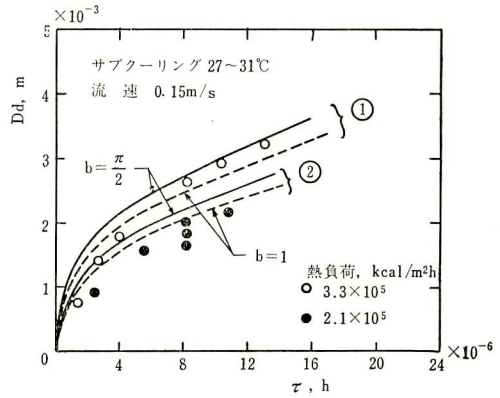


図6 熱負荷の影響

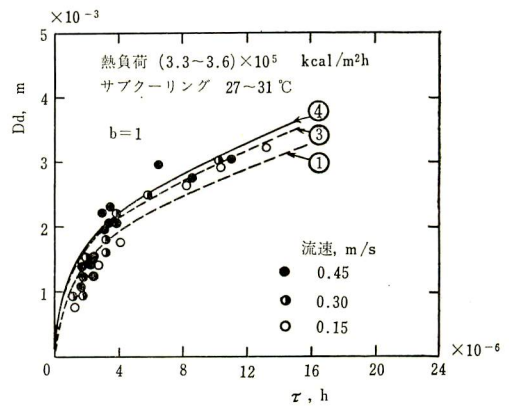


図7 流速の影響

表2 大気圧下における強制対流表面沸騰の実験値

	$q_t$	$U_m$	$\Delta T_{sub}$	$\Delta T_{sat}$	$N$	$A_i$
	kcal/m <sup>2</sup> h	m/h	°C	°C	1/m <sup>2</sup>	m <sup>2</sup>
①	$3.32 \times 10^5$	$0.54 \times 10^3$	27.0	21.5	$2.2 \times 10^5$	$4.55 \times 10^{-6}$
②	$2.05 \times 10^5$	$0.54 \times 10^3$	31.2	18.1	$1.6 \times 10^5$	$6.25 \times 10^{-6}$
③	$3.59 \times 10^5$	$1.08 \times 10^3$	32.0	21.0	$2.4 \times 10^5$	$4.16 \times 10^{-6}$
④	$3.53 \times 10^5$	$1.62 \times 10^3$	31.1	20.5	$2.2 \times 10^5$	$4.55 \times 10^{-6}$
⑤	$3.98 \times 10^5$	$1.62 \times 10^3$	62.7	20.4	$1.6 \times 10^5$	$6.25 \times 10^{-6}$

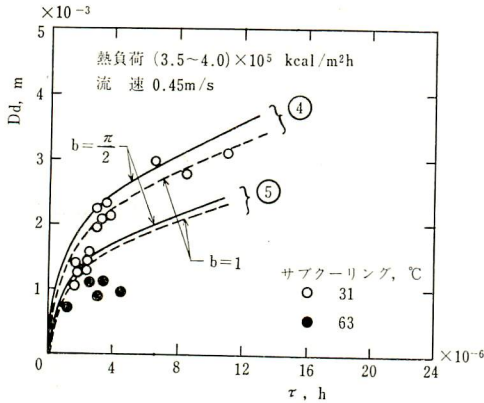


図8 サブクーリングの影響

である。

図6は気ほう発生周期と伝熱面離脱時の気ほう径の関係にたいする熱負荷の影響を、図7は流速の影響および図8はサブクーリングの影響を示している。図中の曲線は解析より導いた(29)式であり、式中の定数 $b$ の値はZuber<sup>7)</sup>の理論式による $\pi/2$ または1を用いてある。ただし、図7においては流速の影響が顕著でないために、 $b=1$ のみを表わしてある。図6から図8までのそれぞれの影響因子にたいして解析式は気ほう発生周期と伝熱面離脱時気ほう径の関係が定性的に一致しており、実験値をよく表現していることが認められる。

しかしながら、自然対流核沸騰と同様に気ほう発生周期の小さい場合は離脱時気ほう径が実験値よりも(29)式による計算値の方が大きくでている。また、図8のサブクーリングの影響において、サブクーリングが大きくなった場合は、伝熱面離脱時の気ほう径は実験値よりも計算値が比較的大きくなっている。

#### 4. 結 論

核沸騰における気ほうの挙動の主要部をなす気ほう発生周期と伝熱面離脱時の気ほう径の関係について、

簡単な熱移動の概念より理論的解析を行ない、自然対流核沸騰の場合は(26)式を、強制対流表面沸騰の場合は(29)式の関係式を得た。この関係式と従来から報告されている関係式および実験値とを比較検討した。その結果(26)および(29)式は従来の式に比して全体を通じ定性的に実験値とよく一致していることが確かめられた。ただし気ほう発生周期の小さい範囲およびサブクーリングが大きくなった場合に定量的には十分な一致がみられなかつた。これは解析を行なう際の仮定のおき方がなお大まかなためであろう。

最後に御指導いただいた京都大学工学部佐藤俊教授に深く謝意を表します。

#### 参 考 文 献

- 1) M. Jakob: Mech. Engng., 58, (1936~10), 643.
- 2) 西川: 日本機械学会論文集. 20, 100(1954), 808.
- 3) P. W. McFadden & P. Grassmann: Int. J. Heat Mass Transfer, 5, (1962), 169.
- 4) N. Zuber: Int. J. Heat Mass Transfer, 6, (1963), 53.
- 5) 西川・楠田: 日本機械学会論文集. 29, 204(1963~8), 1388.
- 6) 佐藤・松村・岡田: 日本機械学会第714回講演会前刷集(1963~11), 93.
- 7) N. Zuber: Int. J. Heat Mass Transfer, 2, (1961), 83.
- 8) K. Yamagata & others: The Memoirs of the Faculty of Engng. Kyushu Univ., 15, 1(1955), 79.
- 9) H. K. Forster & N. Zuber: J. Appl. Phys., 25, (1954), 474.
- 10) M. S. Plesset & S. A. Zwick: J. Appl. Phys., 23, (1952), 95.
- 11) 佐藤・松村・岡田: 日本機械学会関西支部 第39期定時総会講演会前刷 (1964~3), 31.
- 12) 佐藤・松村: 日本機械学会論文集. 28, 195(1962~11), 1542.